



## مطالعه عددی رفتار ناپایداری آبروالاستیک پره‌های رتور کمپرسور گذر صوتی ناسا 37

صالح فلاح<sup>۱</sup>، بهزاد قدیری<sup>۲\*</sup>، قاسم حیدری‌نژاد<sup>۳</sup>

۱- دانشجوی دکتری، مهندسی هوافضا، دانشگاه تربیت مدرس، تهران

۲- استادیار، مهندسی مکانیک، دانشگاه تربیت مدرس، تهران

۳- استاد، مهندسی مکانیک، دانشگاه تربیت مدرس، تهران

\* تهران، صندوق پستی 14115-116، ghadirib@modares.ac.ir

### چکیده

ارتعاشات ناپایداری از جریان در توربوماشین‌های گذر صوتی از جمله موضوعات مهم و چالش برانگیز این حوزه می‌باشد. رفتارهای آبروالاستیک پره‌ها علاوه بر ناپایداری‌های آبروالاستیک می‌تواند منجر به خرابی پره‌ها، ناپایداری جریان و یا کاهش راندمان مجموعه شود. برای مطالعه هر رفتار آبروالاستیک، ابتدا باید رفتار آبروبدینامیک مجموعه بررسی شود. هدف این مقاله بررسی رفتار و حدود ناپایداری آبروالاستیک در یک توربوماشین منتخب می‌باشد. به این منظور، ابتدا جریان گذر صوتی در رتور کمپرسور ناسا 37 بوسیله نرم‌افزار سی‌اف‌ایکس، شبیه‌سازی و راستی آزمایی می‌شود. سپس، با استفاده از ارتعاش اجباری پره‌ها در زاویه‌های فاز بین پره مشخص، پایداری آبروالاستیک پره رتور در سه نقطه طراحی، نزدیک استال و استال بررسی می‌شود. برای کاهش تعداد نقاط شبکه و در نتیجه زمان محاسبات، از شرط مرزی فاز تاخیری و روش تبدیل فوریه استفاده شده است. همچنین، در این تحقیق، الگوریتم شبکه‌بندی همزمان سازه و سیال، با جزئیات کامل تدوین و معرفی شده است. بکارگیری روش تبدیل فوریه در نرم‌افزار سی‌اف‌ایکس، برای شبیه‌سازی آبروالاستیک از دیگر نوآوری‌های این مقاله است. در این پژوهش، اندازه زاویه فاز بین پره بحرانی که مستقل از شرایط کارکرد رتور می‌باشد، بدست آمده است. شبیه‌سازی های آبروالاستیک رتور ناسا 37 بیانگر ناپایداری آبروالاستیک این رتور در شرایط استال می‌باشد. در این شرایط آنtronوی جریان بهشت نسبت به شرایط طراحی و نزدیک استال افزایش می‌یابد. سطح فشار پره، نقش بیشتری در ناپایداری آبروالاستیک استال داشته و در فاز طراحی مجدد باید به آن توجه و پژوهش شود.

### اطلاعات مقاله

مقاله پژوهشی کامل

دربافت: 28 دی 1395

پذیرش: 15 بهمن 1395

ارائه در سایت: 11 اسفند 1395

کلید واژگان:

ناپایداری آبروالاستیک

توربوماشین گذر صوتی

آبروالاستیک نسبتی توربوماشین‌ها

## Numerical study of aeroelastic instability behavior of Nasa 37 transonic compressor rotor blades

Saleh Fallah, Behzad Ghadiri\*, Ghasem Heidarnejad

Department of Mechanical Engineering, Tarbiat Modares University, Tehran, Iran  
\* P.O.B. 14115-116, Tehran, Iran, ghadirib@modares.ac.ir

### ARTICLE INFORMATION

Original Research Paper

Received 17 January 2017

Accepted 03 February 2017

Available Online 01 March 2017

#### Keywords:

Aeroelastic instability  
Transonic turbomachine  
Turmomachinery aeroelasticity

### ABSTRACT

The flow induced vibration in transonic turbomachines is an important and challenging issue in this field. Blades aeroelastic behavior, in addition to the aeroelastic instability, can lead to blade failure, flow instability and reduce efficiency of the system. Aerodynamic behavior of the system should be investigated prior to aeroelastic study. The purpose of this article is an investigation of aeroelastic instability and behavior of a selected turbomachine. For this purpose, transonic flow in Nasa 37 rotor is simulated and verified using CFX software. Then, rotor blade aeroelastic stability is investigated in three operating points: design, near stall and stall using blade forced vibration in the specified inter blade phase angle (IBPA). In order to reduce grid points and consequently, computational time, phase-lagged boundary condition and Fourier transformation method is used. Also, in this research, the algorithm of simultaneous structure-fluid grid generation and the solution algorithm of force vibration structure-fluid interaction of turbomachines is codified and introduced in detail. Employment of Fourier transformation method in CFX software for aeroelastic simulation is another innovation of this article. The value of the critical inter blade phase angle which is independent from rotor operational conditions, is obtained in the present research. Aeroelastic simulations show aeroelastic instability of Nasa 37 rotor in the stall condition. In this condition, flow entropy is increased rapidly relative to the design and near stall condition. The blade pressure side has a more important role in stall aeroelastic instability and needs further attention in re-design phase.

کمپرسورهای با ایرفویل‌های دارای نسبت منظری بزرگ شده است. کمی پس

از پیدایش این نسل کمپرسورهای ارتعاشات شدید پره‌های رotor در محدوده

عملکردی آنها مشاهده شد. بعد از مشخص شدن این ارتعاشات، در واقع،

همیت کاربرد سیستم‌های پیشران هوایی با وزن کم و دستیابی به بالاترین

راندمان آینترنوتیپیک ممکن و کمینه کردن اتفاقات، منجر به پیدایش

### ۱- مقدمه

#### Please cite this article using:

S. Fallah, B. Ghadiri, Gh. Heidarnejad, Numerical study of aeroelastic instability behavior of Nasa 37 transonic compressor rotor blades, *Modares Mechanical Engineering*, Vol. 17, No. 3, pp. 123-134, 2017 (in Persian)

برای ارجاع به این مقاله از عبارت ذیل استفاده نمایید:

استفاده در این تحقیق کا-امگا اس. اس. تی. بوده است.

مرسوم‌ترین ناپایداری آیروالاستیک در توربوماشین‌ها، فلاتر می‌باشد که بسته به رژیم جریان و نقطه کاری توربوماشین، در انواع مختلف اتفاق می‌افتد. دو روش کلی برای بررسی رفتار آیروالاستیک توربوماشین‌ها وجود دارد. در روش اول که فلاتر کنترل شده<sup>۴</sup> نامیده می‌شود، با اعمال ارتعاشات اجباری در مود مشخص و با زاویه فاز بین پره مشخص به پردها، رفتار جریان اطراف پره شبیه‌سازی شده و میرایی آیرودینامیکی استخراج می‌شود. مقادیر میرایی آیرودینامیکی در هر زاویه فاز بین پره، نشان‌دهنده حدود پایداری پردها می‌باشند. مقدار مثبت بیانگر پایداری و مقدار منفی نشانگر ناپایداری آیروالاستیک است. با استفاده از این روش می‌توان زاویه فاز بین پره، فرکانس طبیعی و مود ناپایداری را استخراج نمود. با این روش نمی‌توان رفتار دینامیک سازه پرده در فرآیند قوی ناپایداری را بررسی نمود و تنها رفتار جریان سیال و حدود پایداری آیروالاستیک مشاهده‌پذیر هستند. در این روش جابجایی سازه در مود طبیعی به حلگر سیال وارد می‌شود و در نتیجه برهمنکش بین سازه و سیال از نوع یکطرفه و یا کوپلینگ ضعیف<sup>۵</sup> می‌باشد.

در روش دوم که فلاتر آزاد<sup>۶</sup> [10] نامیده می‌شود، پس از وارد کردن نتایج شبیه‌سازی جریان به عنوان شرط اولیه، ابتدا پرده در مود و فرکانس مدنظر در یک سیکل نوسانی بصورت اجرایی به ارتعاش درمی‌آید. پس از این سیکل، به پره اجازه داده می‌شود مطابق با الگوی برهمنکش سازه-سیال نوسان کند. رفتار نوسانی سازه پرده نشان‌دهنده پایداری یا ناپایداری آیروالاستیک خواهد بود. با این روش می‌توان رفتار دینامیک سازه و سیال را در فرآیند ناپایداری بررسی نمود.

برای انجام تحلیل کامل آیروالاستیک پره توربوماشین، پس از شبیه‌سازی آیرودینامیک، ابتدا باید با روش اول، امکان وقوع ناپایداری، فرکانس، مود و زاویه فاز بین پره بحرانی سازه در یکی از نقاط عملکردی توربوماشین را مشخص نمود. سپس رفتار ناپایداری سازه را در شرایط بدست آمده از روش اول، با استفاده از روش دوم مطالعه کرد.

هر دو روش برای کسکید دوبعدی یا مدل سه بعدی پردها کاربردی می‌باشند. بوفوم و همکاران [11] با بررسی اثر ارتعاشات هارمونیک اجرایی بر یک پرده در کسکید دوبعدی فن گذر صوتی، بصورت تجربی، توزیع فشار نوسانی حول پردها را استخراج کردند. آنها با استفاده از این اطلاعات، مقدار کار آیرودینامیکی در هر سیکل حرکتی پرده را که نشان‌دهنده حدود ناپایداری است تعیین کردند.

از نتایج روش دوم نیز می‌توان حدود ناپایداری را استخراج نمود، اما این روش بسیار پرهزینه و زمان بر می‌باشد. جنسین و همکاران [12] با فرض رفتار خطی سازه و استفاده از حل معادلات اولر برای سیال، این زمان را کاهش دادند. آنها در این تحقیق برهمنکش بین مودهای سازه را مطالعه و اثر فرکانس طبیعی سازه بر حدود ناپایداری آیروالاستیک پرده‌های توربوماشین گذر صوتی را بررسی کردند.

در پژوهشی دیگر، دوی [2] با استفاده از نرم‌افزار نسترن، ابتدا مودها و فرکانس‌های طبیعی سازه را استخراج کرده و سپس با استفاده از یک کد محاسباتی کوپل با نرم افزار آباکوس، رفتار آیروالاستیک سازه رتور ناسا 67 را با هر دو روش اول و دوم مطالعه کرده است. در این مطالعه از مدل آشفتگی کا-امگا ویلکاکس استفاده شده است.

مربوط به نوع خاصی از فلاتر بوده است [1].

در عملکرد یک رتور جت، رفتارهای آیروالاستیک پرده‌های کمپرسور مربوط به پدیده‌هایی مانند انحراف جریان ورودی، برهمنکش ردیف پردها، فلاتر و یا ارتعاشات دامنه محدود<sup>۷</sup> می‌باشند. پدیده‌های آیروالاستیک پرده‌های کمپرسور لزوماً باعث خستگی سیکل بالا و شکستگی نمی‌شوند، بلکه منجر به تاثیرات مخرب گستردگی بر جسم پرنده از طریق تغییر در نیروی پیشران نیز می‌گردد. ارتعاشاتی که منجر به این اثرات می‌شوند می‌توانند پایدار باشند، مثل ارتعاشات اجرایی ناشی از انحراف جریان ورودی یا برهمنکش بین پردها و یا ناپایدار باشد مثل فلاتر که نوعی از ارتعاش خود تحریک می‌باشد. به دلیل برهمنکش نزدیک راندمان و دینامیک مجموعه سازه، باید در فرآیند طراحی توجه ویژه‌ای به طراحی آیروالاستیک بهینه توربوماشین‌ها شود [1]. پیچیدگی مسائل آیروالاستیک توربوماشین‌ها از آنجایی نشأت می‌گیرد که جریان سیال تنها تابعی از خواص جریان آزاد و موقعیت زاویه‌ای پرده نمی‌باشد و به موقعیت ارتعاشی، سرعت و شتاب پرده نیز بستگی دارد [2]. پیچیدگی دیگر این است که یک پرده را به تنهایی نمی‌توان در نظر گرفت. در واقع بین پرده‌های مجاور کوپلینگ آیرودینامیکی و سازه‌ای برقرار می‌باشد که رفتار مودال کل مجموعه پرده‌های نوسانی را دیکته می‌کند. بنابراین زاویه فاز بین پرده‌ها<sup>۸</sup> نقشی مهم و حیاتی در آیروالاستیک توربوماشین ایفا می‌کند [3].

بررسی پدیده‌های آیروالاستیک توربوماشین‌ها به روش تجربی نیز امکان‌پذیر است اما به دلیل ماهیت دوار بودن توربوماشین‌ها و نیاز به تجهیزات خاص اندازه‌گیری، این روش بسیار سخت و پرهزینه است. از این روشت که رویکرد اکثر تحقیقات در زمینه آیرودینامیک و مخصوصاً آیروالاستیک توربوماشین‌ها، رویکرد عددی می‌باشد و از روش‌های تحریبی در تست‌های ساده و تنها برای صحه گذاری نتایج عددی استفاده می‌شود [4].

با توجه به پیچیدگی جریان گذر صوتی عبوری از پرده‌های توربوماشین که ناشی از کوپل شدگی ذات غیرخطی معادلات حاکم بر این رژیم جریان با هندسه پیچیده پرده‌ها می‌باشد، بررسی پدیده‌های آیروالاستیک در این رژیم جریان از اهمیت مضاعفی برخوردار است.

مطالعه و شبیه‌سازی آیرودینامیک توربوماشین‌ها پیش‌نیاز شبیه‌سازی آیروالاستیک است و به عنوان شرط اولیه شبیه‌سازی آیروالاستیک استفاده می‌شود.

به منظور بررسی رفتار آیرودینامیک، لینگر و همکاران [5] نقشه عملکرد رotor 37 را به روش عددی بدست آورده و با نقشه عملکردی تجربی آن مقایسه کرده‌اند.

کرمی [6] در یک تحقیق به کمک نرم افزار سی‌ایکس، به مطالعه رotor 37 به کمک معادلات رنس و در حالت پایا پرداخته است.

سید‌میرزا بزرگ و همکاران [7] نیز مطالعه‌ای پایا روى رotor 37 انجام داده‌اند. آنان به کمک مدل آشفتگی کا-اپسیلن، پارامترهای طراحی رotor 37 را به دست آورده‌اند.

سینلا و میشل [8] یک روش مرتبه سوم را برای شبیه‌سازی دقیق جریان در رotor ناسا توسعه داده‌اند و نشان داده‌اند که جریان پیچیده داخل رتور با استفاده از این روش در چگالی شبکه کمتری قابل شبیه‌سازی است.

در پژوهش دیگری، عامری [9] با استفاده از شبیه‌سازی عددی رotor ناسا 37، کد عددی گلن-اچ-تی<sup>۹</sup> را اعتبارسنجی کرده است. مدل آشفتگی مورد

<sup>4</sup> Controlled Flutter

<sup>5</sup> Weakly Coupled

<sup>6</sup> Free Flutter

<sup>1</sup> Limit Cycle Oscillation

<sup>2</sup> Inter Blade Phase Angle(IBPA)

<sup>3</sup> Glenn-HT

جریان محوری گذر صوتی<sup>۱</sup> می‌باشد. مشخصه‌های طراحی پره رتور ناسا 37 در مرجع [16] ذکر شده است.

## 2-2- معادلات جریان و روابط مورد استفاده

در شبیه‌سازی‌های این مقاله، معادلات ناویر-استوکس، انرژی، حالت و آشفتگی در مختصات دور برای میدان سیال حل شده‌اند. مطابق با مرجع [4]، مدل کا-امگا اس.تی. برای مدل سازی آشفتگی انتخاب شده است. برای استخراج تغییرشکل‌های پره در مود موردنظر، معادلات دینامیک سازه در محیط نرم‌افزار انسیس حل شده‌اند. معادلات جریان سیال و دینامیک سازه در مرجع [17] موجود می‌باشد و برای رعایت اختصار از ذکر مجدد آنها پرهیز می‌شود.

در پژوهش حاضر، هدف اصلی تعیین حدود ناپایداری آبروالاستیک پره رتور ناسا 37 و تبیین علت پدیده‌های مرتبط می‌باشد. پارامتر مهم تعیین کننده پایداری آبروالاستیک، میرایی آبرودینامیک یا همان کار انجام شده توسط پره بر روی جریان در یک سیکل ارتعاش پره می‌باشد. در واقع میرایی آبرودینامیکی، همان کار آبرودینامیکی بی بعد شده می‌باشد. کار آبرودینامیکی از انتگرال گیری فشار بر روی سطح پره و در یک سیکل نوسان پره بدست می‌آید:

$$W_{\text{aero}} = \int_{t_0}^{t_0+T} \int_A p \vec{v} \cdot \hat{n} dA dt \quad (1)$$

$$T = \frac{2\pi}{\omega}$$

در این رابطه،  $T$ ، زمان یک سیکل نوسان،  $\omega$ ، فرکانس زاویه‌ای نوسان،  $t_0$ ، زمان اولیه شروع نوسان،  $p$ ، فشار استاتیک،  $A$ ، سطح پره،  $\vec{v}$ ، سرعت پره ناشی از ارتعاشات اجباری و  $\hat{n}$ ، بردار یکه عمود بر پره در هر نقطه از سطح پره است. واحد رابطه (1) از نوع انرژی و بر حسب ژول است.

برای آنکه ضریب میرایی آبرودینامیکی بدست آید، حاصل رابطه (1) باید بر کمیتی از جنس انرژی تقسیم شود. در مقاله حاضر، کمیت  $1[\text{kg m}^2 \text{s}^{-2}]$  که دارای واحد انرژی است برای بی بعد سازی انتخاب شده است تا رابطه مستقیمی بین کار و میرایی آبرودینامیکی برقرار شود. میرایی آبرودینامیکی بدست آمده از این روش، میرایی لحظه‌ای در هر سیکل نوسان پره می‌باشد. برای استخراج میرایی متوسط می‌توان انتگرال گیری زمانی را در چند سیکل انجام داده و نتیجه را بر تعداد سیکل‌ها تقسیم نمود [18]. چنانچه مقادیر میرایی آبرودینامیکی پس از تعداد مشخص سیکل نوسان پره، ثابت نشود و همچنان تغییر کند، استفاده از میرایی متوسط کارآبی بیشتری دارد.

چنانچه در رابطه (1) انتگرال بر روی سطح پره حذف شود، میرایی آبرودینامیکی محلی یا مقدار کار آبرودینامیکی بر هر نقطه از سطح پره بدست می‌آید. از این مشخصه می‌توان نواحی را که بیشتر دچار نوسان و ناپایداری می‌شوند شناسایی و در مرحله بازطراحی پرده‌ها، تقویت نمود.

## 2-3- شرایط مرزی، گام زمانی و فرضیات

برای میدان سیال، شرط مرزی دما و فشار کل در ورودی و فشار استاتیک در خروجی درنظر گرفته شده است. سطح پرده‌ها، دیواره بدون غش فرض شده و از اثرات انتقال حرارت صرف نظر شده است. شدت آشفتگی جریان ورودی ۵% وارد شده است. برای کاهش حجم محاسبات، یک قطاع شامل دو کانال پره با شرط مرزی پریودیک بر سطوح جانبی مجموعه کانال پرده‌ها در نظر

<sup>5</sup> Transonic Axial Flow Compressor

کارستنس و همکاران [13] نیز، برای کاهش هزینه محاسبات، چهار پره و ۵ مود طبیعی اول هر پره را درنظر گرفته‌اند. در پژوهش آنها، رفتار آبروالاستیک پرده‌های کمپرسور گذر صوتی با استفاده از هر دو روش فوق بررسی شده و نتایج دو روش با یکدیگر مقایسه شده‌اند. در این تحقیق معادلات ناویر-استوکس حل شده و از مدل آشفتگی کا-اپسیلن استفاده شده است.

فو و ولنگ [14] نیز با بکارگیری مدل آشفتگی کا-اپسیلن، اثر عدم تنظیم<sup>۲</sup> رتور بر حدود فلاتر را با روش اول (کوپلینگ یک راهه) در حوزه فرکانس بررسی کرده و راهکارهایی برای افزایش محدوده پایداری ارائه داده‌اند.

تعداد پره مورد نیاز برای تعیین حدود فلاتر به زاویه فاز بین پره و تعداد پرده‌های کل رتور بستگی دارد. مثلاً با فرض زاویه فاز بین پره 90 درجه و تعداد 36 پره برای کل رتور، 4 پره و برای زاویه فاز بین پره 180 درجه دو پره بمنظور شبیه‌سازی اثرات آبروالاستیک و تعیین حدود ناپایداری لازم می‌باشد. در کارهای انجام شده پیشین، از جمله کار مراجع 11 تا 14 نیز، تعداد پره مورد نیاز را بوسیله زاویه فاز بین پره و تعداد پره کل رتور دیگته می‌شود. در مقاله حاضر، با بکارگیری روش جدید تبدیل فوریه<sup>۳</sup> در نرم‌افزار سی‌اف‌ایکس بر روی رتور ناسا 37، مشخصات آبروالاستیک این رتور در نقاط کاری نامی و نزدیک استال بررسی می‌شوند. این روش از نوع فلاتر کنترل شده و برخلاف روش مورد استفاده در کارهای پیشین برای تمامی زوایای فاز بین پرده نیازمند تنها دو کانال پره می‌باشد. در نتیجه، هزینه محاسبات بهشت کاهش یافته و قابلیت استفاده از این روش در شبیه‌سازی‌های صنعتی افزایش می‌یابد. بمنظور استخراج تغییرشکل‌های پره در مود موردنظر و استفاده در ورودی حلگر سیال (سی‌اف‌ایکس)، از شبیه‌سازی استاتیک و مودال سازه در محیط نرم‌افزار انسیس استفاده شده است.

از آنجاییکه تحلیل‌های آبروالاستیک زمان بر هستند، اکثر تحقیقات پیشین با فرض مدل آشفتگی کا-اپسیلن انجام شده است. این مدل نیازمند شبکه با وضوح کمتری نزدیک دیواره و در نتیجه هزینه محاسباتی کمتری می‌باشد. بمنظور افزایش دقت محاسبات و آشکارسازی پدیده‌ها در نزدیک دیواره، در پژوهش حاضر، از مدل کا-امگا اس.تی. استفاده شده است.

پیش‌نیاز شبیه‌سازی آبروالاستیک با روش ذکر شده، شبیه‌سازی جریان پایا با دقت مضاعف<sup>۴</sup> می‌باشد [15]. بنابراین، در این مقاله ابتدا جریان گذر صوتی در رتور ناسا 37 بصورت پایا شبیه‌سازی شده و از نتایج آن برای راستی آزمایی روند حل، پیدا کردن نقطه کارکرد نامی، نزدیک استال، استال و شرط اولیه شبیه‌سازی آبروالاستیک استفاده می‌شود.

همچنین در این مقاله، برای اولین بار، روش صحیح تولید شبکه محاسباتی برای سازه و سیال در حل مسائل آبروالاستیک بصورت مدون و مرحله به مرحله تشریح شده است.

## 2- پیکربندی و روش عددی

### 2-1- هندسه پره رتور

روتور ناسا 37 یکی از موارد شناخته شده در تست‌های کمپرسورهای جریان محوری می‌باشد که به وسیله مرکز تحقیقات لویس ناسا<sup>۵</sup> طراحی شده و بیانگر ساختار جریان ویسکوز سه بعدی پیچیده در پرده‌های کمپرسور با

<sup>1</sup> Mistuning

<sup>2</sup> Fourier Transformation method

<sup>3</sup> Double Precession

<sup>4</sup> Nasa Lewis Research Center

آیروالاستیک یک رتور توربوماشین بازی می‌کند. اختلاف فاز بین دو پره مجاور در فرآیند ارتعاش در یک فرکانس طبیعی پره، زاویه فاز بین پره نامیده می‌شود. این مشخصه به همراه فرکانس طبیعی و شکل مود یک پره، تعیین کننده الگوی ارتعاش کل رتور می‌باشدند (با فرض صلب بودن هاب). در واقع این زاویه فاز بین پره بر مبنای الگوی موج متحرک<sup>2</sup>[13]. شکل مود یک پره را طبق زاویه‌ای مشخص (اختلاف فاز) در پرده‌های دیگر تصویر می‌کند و ارتعاشات یک نقطه مشخص از پرده‌های رتور بهمانند یک موج متحرک در راستای محیطی رتور دیده می‌شود. زاویه فاز بین پره بر مبنای رابطه (2) تعریف می‌شود. در این رابطه  $N_{BL}$ ، تعداد پره رتور می‌باشد. بنابراین تعداد زاویه فاز بین پره دقیقاً برابر تعداد پرده‌ها می‌باشد.

$$IBPA = \frac{2\pi}{N_{BL}} ND$$

$$ND = 0, \dots, N_{BL} - 1 \quad (2)$$

در این رابطه  $ND$ ، قطر گرهای<sup>3</sup> می‌باشد که معیار دیگری برای بیان اختلاف فاز بین پرده‌ها در فرآیند ارتعاش می‌باشد و در مرجع [23] بطور کامل درباره آن توضیح داده شده است. برای بررسی ناپایداری آیروالاستیک پرده‌های رتور لازم نیست شبیه‌سازی‌ها با تمامی زوایای فاز بین پره تکرار شوند بلکه انتخاب زوایای فاز بین پرده‌ای که احتمال ناپایداری در آنها بیشتر است کافی می‌باشد. این زاویه فاز، همان زاویه فاز بحرانی می‌باشد.

## 2-5- شرط مرزی فاز تأخیری<sup>4</sup> در روش تبدیل فوریه

در توربوماشین‌ها، هر پرده در معرض ناپایداری‌هایی قرار می‌گیرد که ناشی از اختلاف فاز بین پرده‌ها در فرآیند ارتعاش آنها می‌باشد. برای شبیه‌سازی جریان در رتور توربوماشین‌ها معمولاً از یک کانال پره با شرط پریودیک با استفاده از شرط پریودیک در دو طرف سطوح جانبی کانال پره استفاده می‌شود. برای کاربرد چنین شرطی در حضور نوسانات پره، باید الگوی ارتعاشات نیز پریودیک باشد. در غیر اینصورت باید تعداد کانال بسته به زاویه فاز بین پره به نحوی انتخاب شود که شرط پریودیک برای ارتعاشات سازه نیز صحیح باشد. از آنجائیکه افزایش تعداد کانال پره منجر به افزایش تصاعدی هزینه محاسبات می‌شود، استفاده از شرط مرزی فاز تاخیری اجتناب‌ناپذیر می‌باشد. این شرط که اولین بار توسط هی [24] ارائه شد، با اصلاحاتی در ترم زمانی، کاربرد شرط پریودیک در یک یا دو کانال پره را برای تمامی زوایای فاز بین پره میسر می‌سازد. در این روش، با توجه به شکل 1 شرط پریودیک مطابق رابطه (3) می‌باشد:

$$f(t) = f(t - \Delta T) \quad (3)$$

در این رابطه  $\Delta T$ ، اختلاف فاز زمانی بین دو پره در حال نوسان می‌باشد و از رابطه (4) بدست می‌آید:

$$\Delta T = \frac{IBPA}{\omega} \quad (4)$$

که  $\omega$ ، فرکانس زاویه‌ای نوسان پرده‌ها و  $IBPA$  زاویه فاز بین پره می‌باشد. مشکل اصلی این روش، نیاز به ذخیره و بهروز رسانی شرط‌های مرزی در سطوح پریودیک در هر گام زمانی است که هزینه محاسبات را زیاد می‌کند. روش تبدیل فوریه بکار رفته در نرم‌افزار سی‌اف‌ایکس با کاربرد تجزیه سری فوریه لحظه‌ای، مشخصه‌های جریان را بصورت ضرایب فوریه در هر گام زمانی در مز میانی دو کانال پره (مز 2 در شکل 2) ذخیره کرده و در گام زمانی بعد بر روی مزهای پریودیک بازیابی می‌کند. این روش بصورت کامل توسط

گرفته شده است. چنانچه تعداد کل پرده‌های رتور عدد اول باشد، روش مطرح در این مقاله کاربردی نمی‌باشد، چرا که در اینصورت شرط پریودیک صادق نمی‌باشد. در این حالت یا باید از یک پره استفاده شود و یا کل رتور مدلسازی شود تا شرط پریودیک درست باشد. در اینصورت نیز استفاده از روش "تبدیل فوریه" که نیازمند دو کانال پره می‌باشد، امکان‌پذیر نیست و باید از روش سنتی که در مرجع [19] تشریح شده استفاده کرد.

همانطور که پیش از این در مقدمه گفته شد، تعداد کانال پره مورد نیاز برای شبیه‌سازی آیروالاستیک تابعی از تعداد کل پره رتور و زاویه فاز بین پره است. برای استفاده از مدل دو کاناله پره در تمامی زوایای فاز بین پره با استفاده از شرط پریودیک اعمال شده بر سطوح جانبی مدل، تصحیحاتی در حلگر و شرایط مرزی نیاز می‌باشد. این موارد در یک بخش مجزا تشریح خواهند شد.

برای شرایط مرزی سازه، سازه پره در محل اتصال به هاب، در مختصات دوار(نسبت به هاب) ثابت شده است. بمنظور وارد کردن اثرات شتاب‌های گریز از مرکز و کوریولیس، سرعت دورانی معادل با سرعت دوران نامی رotor به کل سازه پره در محیط حلگر سازه وارد شده است (شکل 5). جنس پره رotor ناسا 37 از فولاد ماراجینگ<sup>1</sup> می‌باشد [20]. به دلیل میرایی زیاد (برای کاهش ارتعاشات) و استحکام و شکل پذیری خوب، از این فولاد در ساخت پرده‌های رایج استفاده می‌شود. خواص فیزیکی این ماده در جدول 1 ذکر شده است. از آنجاییکه میرایی پره (شامل میرایی ماده‌ای و میرایی سازه‌ای) در مقایسه با میرایی آبرودینامیکی کوچک می‌باشد [21]، در این مقاله، از آن صرفنظر می‌شود. این فرض، حدود پایداری آبرودینامیک را محافظه کارانه پیش‌بینی می‌کند و در صورت وجود میرایی پره، شرایط پایداری خراب نشده بلکه بهبود می‌باشد.

نکته مهم اینکه، در تحقیقات بر فلاوتر کلاسیک، مشخص شده است که هر دوی فرکانس فلاوتر و شکل مود ارتعاشات نسبتاً از بارگذاری آبرودینامیکی تأثیر نمی‌پذیرند [3]. به این معنی که استفاده از بارگذاری آبرودینامیکی بدست آمده از شبیه‌سازی پایای پره در شبیه‌سازی استاتیک پره نمی‌گذارد. بنابراین، لازم نبوده و تأثیری بر شکل مود و فرکانس طبیعی پره نمی‌گذارد. در این مقاله، از اثرات بارگذاری آبرودینامیکی در شبیه‌سازی دینامیک سازه صرفنظر می‌شود.

در کار [22] اثبات شده است که خطای ناشی از فرض صلب بودن هاب (در نظر نگرفتن دیسک رتور)، در نتایج شبیه‌سازی قابل قبول می‌باشد. در نتیجه، در این مقاله، از اثر دینامیک هاب بر ارتعاشات و ناپایداری‌های آیروالاستیک پره صرفنظر شده و هاب، صلب فرض می‌شود. جنابه هاب صلب فرض نشود، علاوه بر اثرات کوپلینگ ناشی از سیال بین دو پره مجاور، رفتار ارتعاشی پرده‌ها از دینامیک هاب نیز تأثیر خواهد پذیرفت.

## 2-4- زاویه فاز بین پره

همانطور که در مقدمه بیان شد، زاویه فاز بین پره نقش مهمی در رفتار

جدول 1 مشخصات مکانیکی فولاد ماراجینگ (جنس پره ناسا 37)

Table 1 Mechanical properties of Maraging steel (Nasa37 Blade material)

ضریب پواسن	مدول الاستیسیته (Pa)	چگالی (kg/m <sup>3</sup> )
0.3	1.9385E11	8120.85

<sup>1</sup> Maraging

<sup>2</sup> Traveling Wave Mode(TWM)

<sup>3</sup> Nodal Diameter

<sup>4</sup> Phase-lagged boundary condition

نوسان) باشد. از سوی دیگر، برای آشکارسازی اثرات جریان سیال بین پره، گام زمانی باید کمتر از عکس فرکانس گذر پره<sup>۱</sup> باشد. این مشخصه، نشان‌دهنده زمان لازم برای انتقال ذره سیال از یک پره به پره مجاور می‌باشد و مطابق رابطه (7) تعریف می‌شود. در این رابطه،  $n$  تعداد پره و  $\Omega$  و سرعت دوران رتور بر حسب دور بر دقیقه است.

$$BPF = \frac{\Omega n}{60} \quad (7)$$

در نزدیکی استال، زمان مورد نیاز جریان در شبیه‌سازی، ۱/۳۰ تا ۱/۵۰ دوره گذر پره (عکس فرکانس گذر پره) فرض می‌شود [26]. در این مقاله، ناحیه مورد بررسی، شرایط نامی، نزدیکی استال و استال کمپرسور می‌باشد. در شرایط نامی که اثرات جدایش کم می‌باشند، زمان مورد نیاز جریان گذر صوتی داخل پره‌ها در فرآیند شبیه‌سازی ۰.۱ دوره گذر پره در نظر گرفته شده است.

### 3- شبکه‌بندی و مطالعه استقلال از شبکه‌بندی

#### 3-1- الگوریتم شبکه‌بندی

شبکه‌بندی صحیح میدان سیال و سازه نقشی بسیار حیاتی در صحت، دقت و روند همگرایی شبیه‌سازی‌های پرهمکنش سازه-سیال دارد. در این راستا، در وهله اول، باید شبکه سازه بر شبکه جامد منطبق و یا گره‌ها نزدیک به هم باشند. در وهله دوم نتایج هر کدام از حوزه‌های سازه و سیال باید از شبکه‌بندی مربوطه مستقل باشند. چنانچه برای شبکه‌بندی میدان سیال و جامد از یک ابزار شبکه‌بندی مانند آی‌اسی.ای‌ام.<sup>۲</sup> استفاده شود، اطمیق شبکه سازه بر سیال تضمین می‌شود. نرم‌افزارهای مانند فلوبنت برای شبیه‌سازی پرهمکنش دوطرفه سازه-سیال نیازمند شبکه‌ای کاملاً منطبق می‌باشند [27]. در حالیکه نرم‌افزار سی‌اف‌ایکس به دلیل ماهیت حلگر خود که، حجم محدود بر پایه المان است، در شبکه‌ای با گره‌های نزدیک سیال و سازه نیز به نتایج معقولی می‌رسد. اگر برای شبکه‌بندی دو میدان، از دو ابزار جداگانه استفاده شود، باید سعی شود گره‌های تولیدی به یکدیگر نزدیک باشند. در شبیه‌سازی‌های یکطرفه نظیر آنچه در این مقاله مدنظر است، شرط دوم، یعنی استقلال نتایج هر حوزه محاسباتی از شبکه مربوطه، اهمیت بیشتری از شرط تطابق شبکه دارد.

الگوریتم شبکه‌بندی صحیح در یک مسئله پرهمکنش دینامیک سازه-سیال در شکل 3 نشان داده است. در این فرآیند، ابتدا بر روی سازه یک شبکه مناسب تولید می‌شود. سپس شبیه‌سازی مودال برای تحلیل دینامیک و یا شبیه‌سازی استاتیک برای تحلیل استاتیک انجام می‌شود. روند شبکه‌بندی مجدد سازه و شبیه‌سازی آن تا دستیابی به حل مستقل از شبکه سازه ادامه می‌باید. در مرحله بعد، میدان سیال بر اساس شبکه بدست آمده از سازه شبکه‌بندی شده و بصورت پایا حل عددی می‌شود. اگر نتایج بدست آمده از حل سیال از شبکه انتخابی مستقل نباشند، روند تولید شبکه مجدد از سازه شروع می‌شود. باید توجه داشت که شبکه در نواحی ورود و خروج رتور باید متناسب با شبکه اطراف پره باشد و پرش ناگهانی در ابعاد شبکه وجود نداشته باشد.

### 3- بررسی استقلال از شبکه

در مطالعه حاضر از نرم‌افزار آی‌اسی.ای‌ام، برای شبکه‌بندی سازه و از نرم‌افزار توربوگرید<sup>۳</sup> برای شبکه‌بندی میدان سیال استفاده شده است و شبکه‌بندی

گرولیموس [25] پیشنهاد شد.تابع سری فوریه بکار رفته بصورت رابطه (5) می‌باشد.

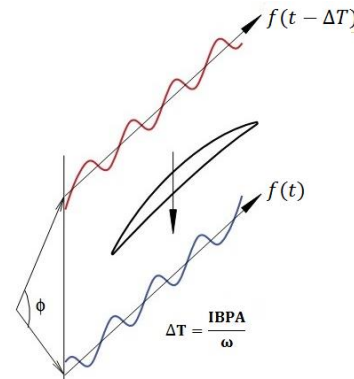
$$\hat{f}(t) = \sum_{m=-M}^{m=M} A_m e^{-j(\omega mt)} \quad (5)$$

دور بودن محل ذخیره ضرایب مشخصه‌های جریان از سطوح پریودیک، دقت حل را زیاد کرده و زمان همگرایی را کاهش می‌دهد [18]. در حقیقت سیگنال‌های اعمالی به سطوح پریودیک از بازیابی ضرایب مشخصه ذخیره شده در مز میانی پره بدست می‌آیند. به این علت است که در این روش نیاز به دو کانال پره می‌باشد. رابطه بین سیگنال ذخیره شده در مز میانی و دو مز پریودیک در رابطه (6) مشخص شده است. در واقع، با تلقیق شرایط مرزی فاز تاخیری و روش تبدیل فوریه، روشی ابداع شده است که مزیت دقت بالا، هزینه محاسباتی کم (نسبت به مدل‌های چند کاناله) و روند همگرایی سریع را هم‌zman دارد.

$$\begin{aligned} f_{B1}(t) &= f_{B2}(t + \Delta T) \approx \widehat{f_{B2}}(t + \Delta T) \\ f_{B3}(t) &= f_{B2}(t - \Delta T) \approx \widehat{f_{B2}}(t - \Delta T) \end{aligned} \quad (6)$$

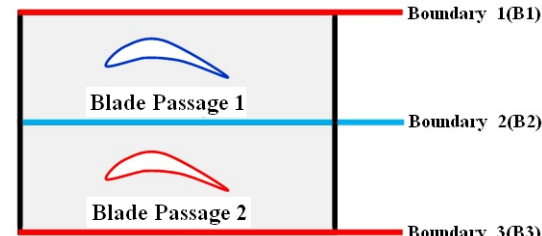
### 2- انتخاب گام زمانی شبیه‌سازی

لازم است گام زمانی به‌نحوی انتخاب شود که هر دو مقیاس نوسان سازه و پدیده‌های سیال را آشکار نماید و دقت حل را تضمین نماید. در مرجع [4] تأکید شده است که برای بررسی حدود ناپایداری پره توربوماشین به روش تبدیل فوریه تعداد گام زمانی در هر سیکل نوسان پره باید حداقل دو برابر قطر گره‌ای باشد تا از طی شدن یک سیکل نوسان در هر دو کانال پره اطمینان حاصل شود. این توصیه، تنها، تکمیل فرآیند نوسان را در نظر می‌گیرد و شرطی لازم برای گام زمانی است. برای آشکارسازی اثرات نوسان، گام زمانی حداقل باید ۱۰ برابر کوچک‌تر از دوره نوسان (عکس فرکانس



شکل ۱ شرط مرزی فاز تاخیری در مدل تک کاناله پره

Signal  $f(t)$



شکل ۲ مدل دوکاناله پره در روش تبدیل فوریه

<sup>1</sup> Blade Passing Frequency (B.P.F)

<sup>2</sup> ICEM

<sup>3</sup> TurboGrid

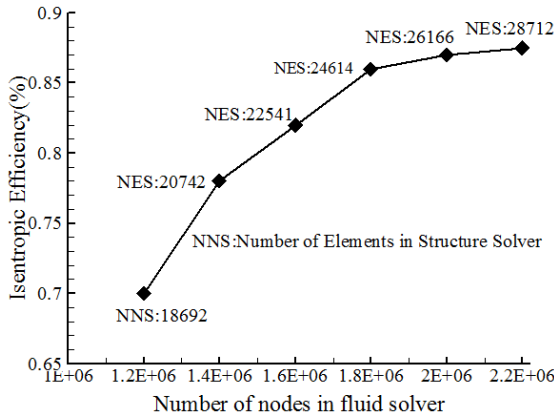


Fig.4 Mesh study of fluid domain

شکل 4 مطالعه استقلال از شبکه برای میدان سیال

پره)، سفتی شبکه بیشتر و در نتیجه تغییر شکل حجم محدود مربوطه کمتر می‌شود. در واقع، حجم محدود مجاور پره که دارای حجم کوچکی است، تغییرشکل کمی خواهد داشت و اجزاء انتقال تغییرشکل را به حجم محدودهای دورتر از دیواره می‌دهد.

$$\text{Mesh Stiffness} = 1 \left[ \frac{m^2}{s} \right] \times \frac{1.0E - 6 [m^3]}{(\text{Volume of finite volumes})^2} \quad (8)$$

#### 4- فرآیند شبیه‌سازی و روش حل

حل صحیح و دقیق برهمکنش سازه-سیال در کاربردهای توربوماشین، واسطگی زیادی به پیاده‌سازی صحیح روند شبیه‌سازی دارد. برای صحت و دقت نتایج، باید اثر تمامی نیروها و جابجایی‌هایی که در حالت واقعی اتفاق می‌افتد، در شبیه‌سازی وارد شود. در روش مورد نظر این تحقیق، ابتدا مودهای طبیعی سازه با درنظر گرفتن اثر نیروهای گریز از مرکز و کوریولیس استخراج می‌شوند. بدین منظور ابتدا سازه پره تحت بارگذاری ثابت (استاتیک) سرعت دورانی رotor قرار می‌گیرد. در این حالت نیروی گریز از مرکز فعال می‌باشد. نتایج این شبیه‌سازی به عنوان شرط اولیه به شبیه‌سازی مودال با پیش‌نشن<sup>1</sup> وارد شده و پس از انجام شبیه‌سازی، مودهای طبیعی استخراج می‌شوند. با استفاده از رابطه 4، مود بحرانی که بیشترین استعداد ناپایداری را دارد به عنوان مود بحرانی انتخاب می‌گردد. چنانچه مقدار فرکанс کاهش یافته کمتر از 0.4 و یا بین 0.4 و 0.7 باشد، امکان ظهور ناپایداری وجود دارد. ممکن است دو یا سه مود قابلیت ناپایداری را داشته باشند اما عموماً مود اول یا همان مود خمثی بیشترین استعداد ناپایداری آیروالاستیک را دارد [28]. داشتن قابلیت ناپایداری (ارضاء رابطه (4)) لزوماً به معنای ناپایدار بودن نیست و تنها یک شرط لازم (و نه کافی) می‌باشد. وجود ناپایداری آیروالاستیک پس از شبیه‌سازی مشخص می‌شود. برای پره رотор حاضر مقدار رابطه (9) حدود 0.7 می‌باشد.

$$k = \frac{2\pi f C}{u} \quad (9)$$

در این رابطه،  $f$ : فرکانس نوسان پره،  $C$ : نصف طول وتر متوسط پره،  $u$ : سرعت جریان آزاد ورودی به کانال پره و  $k$ : فرکانس کاهش یافته می‌باشد.

با توجه به مودهای طبیعی بدست آمده و این واقعیت که ناپایداری آیروالاستیک پرده‌های توربوماشین در مودهای طبیعی آنها اتفاق می‌افتد [18]، جابجایی تمامی نقاط شبکه پره در هر سه راستای مختصات کارترین و در مود بحرانی استخراج می‌شوند. این جابجایی‌ها به همراه مکان اولیه شبکه

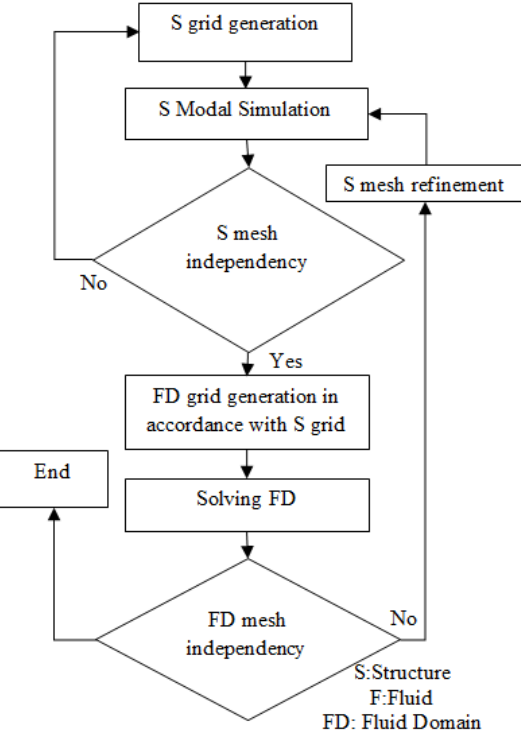


Fig.3 Mesh generation algorithm for Structure-Fluid domain

شکل 3 الگوریتم شبکه‌بندی میدان سازه و سیال

مطابق الگوریتم شکل 3 انجام شده است. با مقایسه سه فرکانس طبیعی اول پره، شبکه سازه انتخاب می‌شود (جدول 2). با استفاده از این شبکه، جریان سیال در رotor بصورت پایا شبیه‌سازی شده و استقلال نتایج از شبکه تولید شده در میدان سیال بررسی می‌شود. باید توجه داشت که فرکانس‌های طبیعی ذکر شده در این جدول بدون درنظر گرفتن اثرات شتاب‌های گریز از مرکز و کوریولیس می‌باشد و تنها از شبیه‌سازی مودال سازه پره بدست آمده است. در بخش نتایج، فرکانس طبیعی اول (بحرانی) با اعمال شرایط واقعی استخراج خواهد شد. نتایج بررسی استقلال نتایج از شبکه انتخابی برای میدان سیال با انتخاب راندمان رotor به عنوان مشخصه مقایسه‌ای در شکل 4 نشان داده شده است. در نتیجه این بررسی‌ها، تعداد 1666 گره المان برای سازه و 1914000 گره المان (2000000 گره) برای میدان سیال انتخاب می‌شود.

#### 3- شبکه دینامیک

به دلیل نوسان پره، شبکه اطراف آن دچار تغییرشکل می‌شود. این تغییرشکل می‌تواند منجر به خرابی شبکه و در نهایت واگرایی حل شود. همانطور که در مرجع [4] اشاره شده است، استفاده از روش شبکه فنری، روشی بهینه برای حفظ کیفیت شبکه و جلوگیری از افزایش زمان محاسبات (به علت تولید مجدد شبکه) می‌باشد. در مقاله حاضر از رابطه (8) برای سفتی شبکه استفاده می‌شود. در این رابطه، هر چه حجم المان‌های شبکه کمتر شود (در نزدیکی

جدول 2 مطالعه استقلال از شبکه در سازه پره

Table 2 mesh study of structure domain

سوم(هرتز)	دوم(هرتز)	اول(هرتز)	فرکانس طبیعی شبکه
3332	2550	945	14625
3315	2538	937	16812
3300	2532	938	18692

<sup>1</sup> Pre-stress Modal

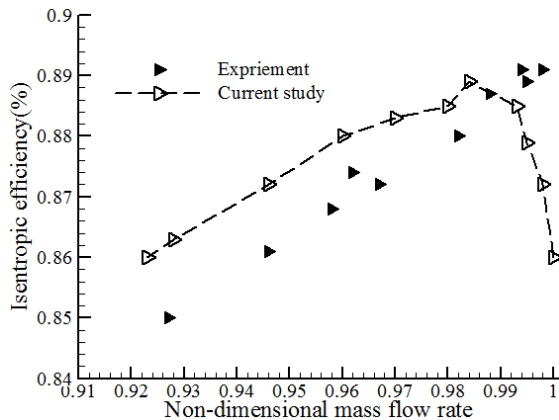


Fig.5 Variations of efficiency versus non-dimensional mass flow rate for NASA 37 Rotor

شکل 5 تغییرات بازده نسبت به دبی بی بعد برای روتور ناسا 37

## 6- شبیه‌سازی جریان پایا در رتور

پس از شبیه‌سازی جریان، سه پارامتر مهم نسبت فشار کل، نسبت دمای کل و عدد ماخ نسبی بررسی شده‌اند. در شکل 6، توزیع نسبت دمای کل و نسبت فشار کل در راستای اسپن پره در محل خروج جریان از بین پره‌ها برای شبیه‌سازی نامی و نزدیک استال با مقادیر تجربی مقایسه شده‌اند. مطابق این شکل، نتایج مقاله حاضر، تطابق قابل قبولی با نتایج تجربی مرجع [9] دارند. با افزایش فاصله از هاب، در هر دو ناحیه کاری، نمودار نزدیک استال از نمودار نزدیک بیشینه راندمان فاصله بیشتری می‌گیرد. بیشینه فاصله نمودار نسبت فشار و نسبت دمای کل در شبیه‌سازی نامی و نزدیک استال در نزدیکی پوسته (شروع) می‌باشد. در واقع رفتار فاصله بین نوک پره تا پوسته رotor یا همان درز نوک پره، نقش بارزی در این رفتار دارد. اختلاف نتایج تجربی و عددی در نزدیک استال در نزدیکی پوسته، بیشتر می‌شود. این موضوع به شکل گیری ساختارهای سه‌بعدی در ناحیه درز نوک مربوط می‌شود. برای شبیه‌سازی این ساختارها بهتر است از شبکه با چگالی بالاتر در این ناحیه و روش‌های آشفتگی شبیه‌سازی گردابهای بزرگ<sup>1</sup> یا شبیه‌سازی گردابهای جداشده<sup>2</sup> استفاده شود.

در شکل 7 توزیع عدد ماخ نسبی در نزدیکی پوسته و در شبیه‌سازی کارکرد

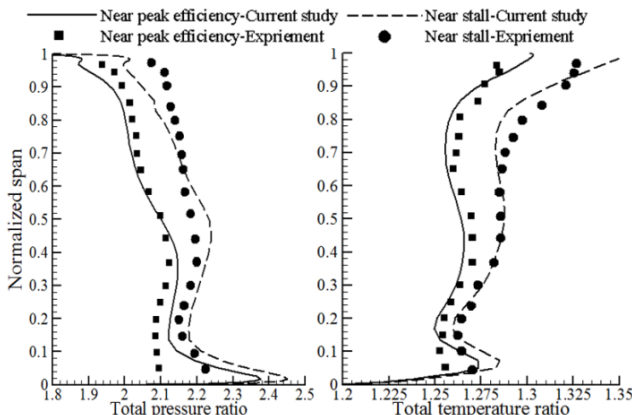


Fig.6 Variations of total pressure (left) and total temperature (right) ratio across the span for design point and near stall

شکل 6 تغییرات نسبت فشار (چپ) و نسبت دما (راست) کل در عرض اسپن برای نقطه طراحی و نزدیک استال

<sup>1</sup> Large Eddy Simulation(LES)

<sup>2</sup> Detached Eddy simulation(DES)

(قبل از جابجایی در مود طبیعی) و فرکانس طبیعی مود بحرانی در قالب یک فایل ورودی ذخیره می‌شوند.

در شرایطی که دامنه نوسان پره کمتر از 1% باشد، بحرانی ترین شرایط برای ناپایداری آیروالاستیک بوجود می‌آید [29]. در این شرایط نیروهای آیرودینامیک و دینامیک سازه رفتار خطی از خود نشان می‌دهند. در واقع، رفتارهای غیرخطی سیال موجب پایداری بیشتر می‌شوند. بنابراین لازم است که جابجایی‌های بدست‌آمده به نحوی مقیاس شوند که بیشینه جابجایی پره کمتر از 1% کمینه طول وتر پره باشد تا ناپایداری آیروالاستیک در بدترین شرایط بررسی شود [29].

نتایج شبیه‌سازی پایا در مدل دوکاناله رotor، به عنوان شرط اولیه به شبیه‌سازی ناپایداری وارد می‌شوند و فایل ورودی مکان اولیه و جابجایی شبکه در مود بحرانی در این شبیه‌سازی بارگذاری می‌شود. برای تعیین حدود ناپایداری، باید شبیه‌سازی آیروالاستیک در چندین زاویه فاز بین پره انجام شود. بنابراین تعیین این مشخصه برای شروع شبیه‌سازی ضروری می‌باشد. در حین حل برهمنکش سازه سیال با استفاده از روش تبدیل فوریه، میرایی آیرودینامیکی توزیع فشار و کار لحظه‌ای بر روی پره ذخیره می‌شوند. از مقایسه این نتایج می‌توان پایداری و ناپایداری محلی، کلی و لحظه‌ای را استخراج نمود.

## 5- راستی آزمایی

برای راستی آزمایی نتایج، از نتایج آزمایش ناسا برای روتور 37 استفاده شده است [30].

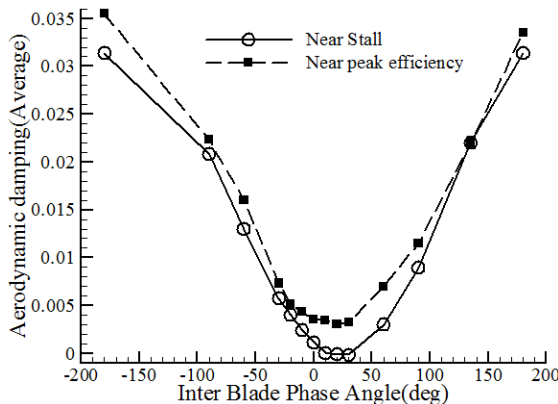
برای شبیه‌سازی جریان در روتور ناسا 37 و راستی آزمایی نتایج ابتدا باید دبی خفگی استخراج شود. بدین منظور، با استفاده از شبکه بدست آمده، دبی خفگی با کاهش فشار استاتیک خروجی تا جائیکه کاهش بیشتر فشار خروجی، دبی را تغییر ندهد، استخراج می‌شود. دبی خفگی بدست آمده از آزمایش این روتور 20.93 کیلوگرم بر ثانیه [31] و دبی بدست آمده از شبیه‌سازی حاضر 20.98 کیلوگرم بر ثانیه می‌باشد.

با استفاده از این دبی و شبکه بدست آمده، جریان درون روتور ناسا 37 در فشارهای عملکردی مختلف شبیه‌سازی شده و نتایج با نتایج تجربی مقایسه شده است. شکل 5 تغییرات بازده ناسا 37 نسبت به دبی بعد شده (نسبت به دبی خفگی) را نشان می‌دهد. مطابق این شکل، با کاهش دبی، و به بیان بهتر، افزایش فشار استاتیک خروجی، اختلاف نتایج تجربی و عددی زیاد می‌شود. در واقع، با افزایش فشار استاتیک، روتور به شبیه‌سازی نزدیک می‌شود. از آنجاییکه در نزدیک استال، طبیعت جریان به سوی ناپایدار نیز می‌کند، این اختلاف نتایج قابل توجیه می‌باشد. این افزایش اختلاف نتایج تجربی و عددی در نزدیکی خفگی که شوک‌های شدید حضور ادارند نیز مشاهده می‌شود.

## 6- نتایج عددی

### 6-1- شبیه‌سازی مودال سازه

در شبیه‌سازی واقعی، پره کمپرسور دارای دوران در سرعت نامی می‌باشد و در نتیجه نیروهای کوریولیس و گریز از مرکز به آن وارد می‌شوند. چنانچه آنالیز مودال با درنظر گرفتن این نیروها و در واقع آنالیز مودال با پیش‌بار انجام شود، مقدار فرکانس‌های طبیعی نسبت به حالت بدون بار (بدون در نظر گرفتن نیروهای کوریولیس و گریز از مرکز) افزایش می‌یابند. فرکانس طبیعی اول پره روتور ناسا 37 در این شبیه‌سازی به 1158 هرتز می‌رسد.



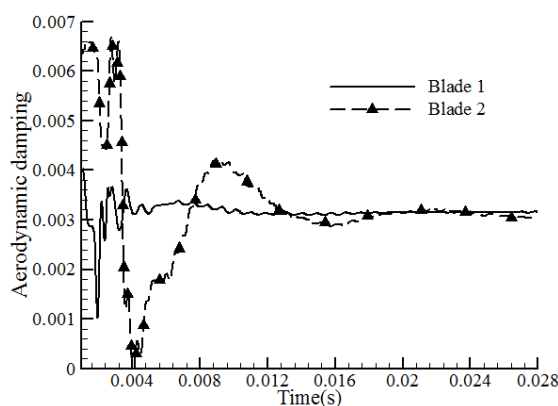
شکل 8 تغییرات میرایی متوسط آیرودینامیکی نسبت به زاویه فاز بین پره

میرایی آیرودینامیکی دو پره برابر و پس از چند سیکل، نسبت به زمان تغییر نمی‌کند (شکل 9).

با افزایش فشار خروجی کانال پره و در شرایط نزدیک استال، رفتار میرایی آیرودینامیکی هر دو پره نسبت به زمان نوسانی شده و مقدار آنها از یکدیگر کمی فاصله می‌گیرند (شکل 10). علت این روند نوسانی، شکل‌گیری و جدایش متنابع گردابهای ریز شروع استال می‌باشد.

با افزایش بیشتر فشار خروجی جریان از کانال پره و ورود به ناحیه استال در همان زاویه فاز بین پره بحرانی 20 درجه، مقدار میرایی آیرودینامیکی هر دو پره، افت ناگهانی کرده و منفی می‌شود. الگوی نوسانی تغییرات نسبت به زمان میرایی آیرودینامیکی تغییر کرده و فرکانس آن افزایش می‌باید (شکل 11). علت این تغییر را می‌توان مرتبط با شکل‌گیری و حرکت سلول‌های استال از پرهای به پره دیگر و در نتیجه شکل‌گیری استال دورانی دانست.

استال در چنین پره توربوماشینی، پس از 1.5 تا 2 دور از شروع کار رتور در ناحیه استال شروع به شکل‌گیری می‌کند [26]. تعداد دور رتور در شرایط‌سازی‌های این پژوهش، بیشتر از 6 دور می‌باشد. همانطور که در شکل 11 نشان داده است، پس از 0.007 ثانیه که معادل حدود دو دور دوران رتور ناسا 37 می‌باشد، استال شروع به شکل‌گیری می‌کند. در شرایط استال، مقدار میرایی آیرودینامیکی دو پره نیز از هم فاصله بیشتری می‌گیرند اما مقدار منفی آنها حفظ می‌شود. این فاصله‌گیری مقدار میرایی آیرودینامیکی دو پره را می‌توان ناشی از ناپایدار شدن پره‌ها دانست. بنابراین پره‌های رتور



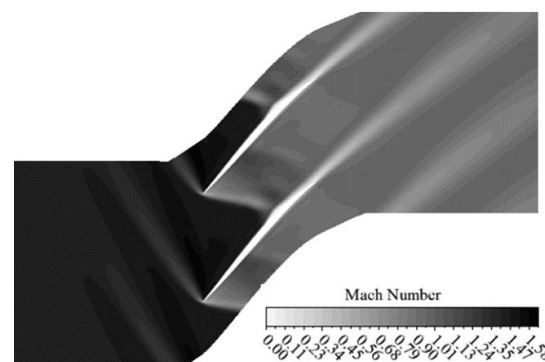
شکل 9 تغییرات میرایی آیرودینامیکی دو پره مجاور نسبت به زمان در زاویه فاز بین پره بحرانی (نقطه طراحی)

نامی، بمنظور بررسی رفتار شوک‌ها به عنوان نمونه نشان داده شده است. همانطور که در این شکل دیده می‌شود، شوک‌های تشکیل شده در نزدیکی میانه پره با پره مجاور برخورد کرده و بر الگوی جریان و همچنین رفتار آیروالاستیک مجموعه رotor تأثیر می‌گذارد.

### 6-3- بررسی تغییرات میرایی آیرودینامیکی و حدود ناپایداری

برای بررسی اثر زاویه فاز بین پره بر ناپایداری آیروالاستیک و استخراج رازیه فاز بین پره بحرانی، میرایی متوسط آیرودینامیکی پره در 13 زاویه فاز بین پره مختلف از 180- درجه تا 180 درجه، به کمک 13 شبیه‌سازی مستقل برای هر شرایط کاری رотор محاسبه شده است. این فرآیند برای شرایط کاری نزدیک بیشینه راندمان و نزدیک استال انجام شده است تا اثر شرایط کاری رotor بر ناپایداری آیروالاستیک بررسی شود. برای هر کدام از این شبیه‌سازی‌ها، 168 ساعت (یک هفته) زمان بر روی یک سیستم پردازش موازن صرف شده است. این سیستم، دارای 32 هسته محاسباتی 2.6 گیگاهرتز با 32 گیگابایت رم بوده است. برای تعیین دقیق‌تر زاویه فاز بحرانی، زوایایی فاز بین پره، به‌گونه‌ای انتخاب شده‌اند که در نزدیکی زاویه فاز بحرانی باشند. بدین منظور، ابتدا 5 زاویه فاز بین پره، 0.90.0 و 180 درجه انتخاب شده و پس از محاسبه میرایی آیرودینامیکی آنها، زوایایی فاز بین پره برای شبیه‌سازی بعدی، بین زوایایی فاز با مقدار کمتر میرایی آیرودینامیکی انتخاب می‌شوند. با این روش، دقت زاویه فاز بین پره بحرانی بدست آمده، مرحله به مرحله، زیادتر می‌شود. همانطور که در شکل 8 دیده می‌شود، زاویه فاز بین پره بحرانی برای شرایط کاری نامی، 20 درجه می‌باشد. با افزایش فشار خروجی کانال پره و رسیدن به شرایط نزدیک استال، مقدار میرایی آیرودینامیکی متوسط برای تمامی زوایایی فاز بین پره کاهش می‌یابد؛ اما زاویه فاز بحرانی تغییر نمی‌کند. بنابراین می‌توان گفت که زاویه فاز بین پره بحرانی در یک دور خاص رotor، مستقل از شرایط کارکرد (فسارخروجی کانال پره) رotor می‌باشد. روند کاهشی میرایی آیرودینامیکی بیانگر این است که با افزایش بیشتر فشار خروجی کانال پره و ورود به ناحیه استال، میرایی آیرودینامیکی منفی شده و شرط لازم برای ناپایداری آیروالاستیک مهیا می‌شود.

در شکل‌های 9 تا 11، تغییرات میرایی آیرودینامیکی نسبت به زمان برای هر دو پره، به ترتیب در سه شرایط کاری؛ نامی، نزدیک استال و استال رسم شده‌اند. در شرایط نامی که هیچ‌گونه ناپایداری جریان مانند، جدایش وسیع، ریزش گردابه و یا ناپایداری مانند استال و سرج وجود ندارد، مقدار



شکل 7 توزیع عدد ماخ نسبی در مقطع 0.9 اسپن پره در نقطه طراحی

مکش می‌باشد. در واقع سطح فشار پره، نقش بیشتری در ناپایداری پره در شرایط استال (در مقایسه با شرایط نامی) دارد. در فرآیند بازطراحی پرها به منظور کاهش اثرات ناپایداری آیروالاستیک باید توجه ویژه‌ای به این سطح شود.

#### 6- بررسی تغییرات آنتروپی در خروجی پره‌ها

برای بررسی تغییرات انرژی جریان، تغییرات آنتروپی جریان در خروجی کanal پره نسبت به زمان برای شرایط نامی و استال در شکل 14 نشان داده شده است. در شرایط نزدیک بیشینه راندمان که همان شرایط نامی کارکرد رتور می‌باشد، آنتروپی دارای نوسانات با دامنه کوچک و فرکانس نوسان پره می‌باشد و ساختار جریان منظم می‌باشد. با شروع استال، آنتروپی الگوی نوسانی با دامنه زیاد به خود می‌گیرد و مقدار متوسط آن با زمان بهشت رشد می‌کند. این افزایش آنتروپی، علاوه بر اینکه نمادی از ناپایداری آیرودینامیکی استال می‌باشد، نشان‌دهنده افزایش اتلاف انرژی جریان می‌باشد. بخشی از این اتلاف انرژی مربوط به انتقال انرژی از سیال به پره، در فرآیند ناپایداری آیروالاستیک استال فلاتر می‌باشد.

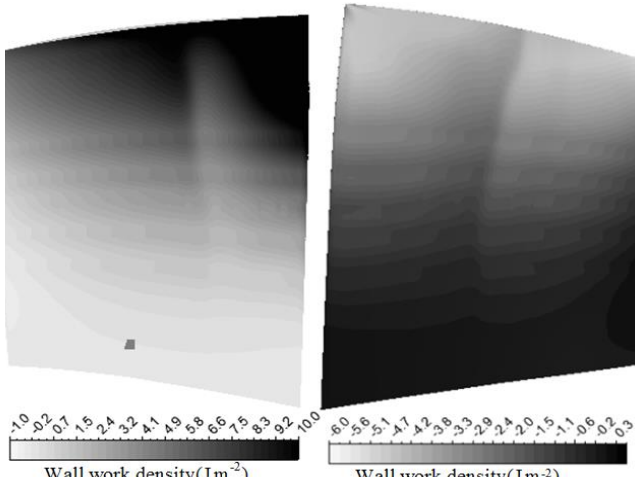
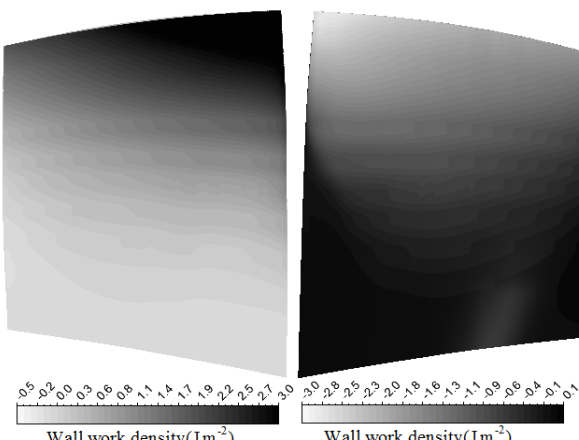
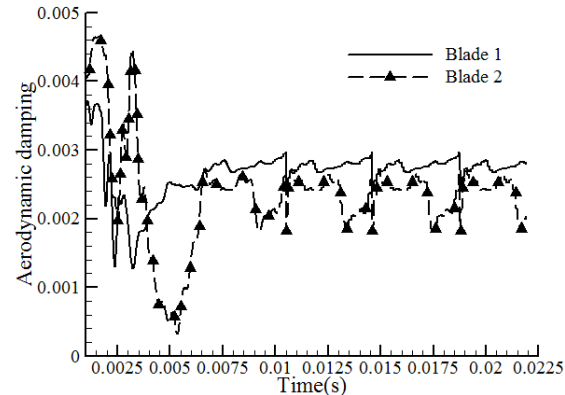


Fig.12 Aerodynamic wall work density on blade in design point in a moment of vibration (right: suction side, left: pressure side)

شکل 12 چگالی کار آیرودینامیکی بر روی پره در نقطه طراحی در یک لحظه نوسان (راست: سطح مکش، چپ: سطح فشار)

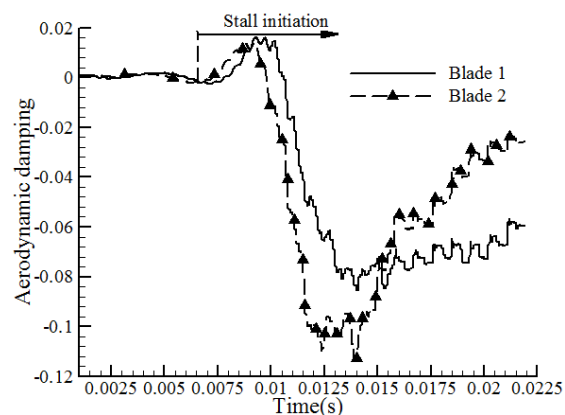


شکل 13 چگالی کار آیرودینامیکی بر روی پره در شرایط استال در یک لحظه ارتعاش (راست: سطح مکش، چپ: سطح فشار)



شکل 10 تغییرات میرایی آیرودینامیکی دو پره مجاور نسبت به زمان در زاویه فاز

بین پره بحرانی (نزدیک استال)



شکل 11 تغییرات میرایی آیرودینامیکی دو پره مجاور نسبت به زمان در زاویه فاز

بین پره بحرانی (استال)

ناسا 37 در ناحیه استال، شرایط لازم ناپایداری آیروالاستیک را دارند و در این شرایط می‌توانند دچار ناپایداری آیروالاستیک یا همان استال فلاتر شوند.

#### 6- بررسی توزیع کار آیرودینامیکی

همانطور که پیش از این گفته شد، مقدار و علامت کار آیرودینامیکی انجام شده روی پره نوسانی، نشان‌دهنده پایداری یا ناپایداری آیروالاستیک پره می‌باشد. با انتگرال گیری از کار آیرودینامیکی روی سطح پره در طی چند سیکل نوسان، می‌توان میرایی مثبت یا منفی آیرودینامیکی را محاسبه کرد. در شکل‌های 12 و 13، چگالی کار آیرودینامیکی در یک لحظه از ارتعاش پره و در زاویه فاز بین پره بحرانی به ترتیب در شرایط نامی و نزدیک استال در هر دو سطح فشار و مکش پره نشان داده شده است. مقایسه چگالی کار آیرودینامیکی در این دو شکل، بیانگر کمتر بودن مقدار کار آیرودینامیکی در شرایط استال نسبت به شرایط نامی می‌باشد. در واقع، کاری که توسط پره روی جریان انجام می‌شود کمتر بوده و در بسیاری از نقاط پره منفی می‌باشد که نشان‌دهنده انتقال انرژی سیال به پره و در نتیجه ناپایداری آیروالاستیک است. مقایسه این دو شکل نشان می‌دهد که سطح فشار پره در شرایط استال ناپایدارتر از شرایط نامی است در حالیکه سطح مکش در استال پایدارتر از شرایط کارکرد نامی رتور است. با دقیق‌تر بیشتر، مشخص می‌شود که گستردگی ناپایداری (کار منفی) سطح فشار در شرایط استال بیشتر از پایداری سطح

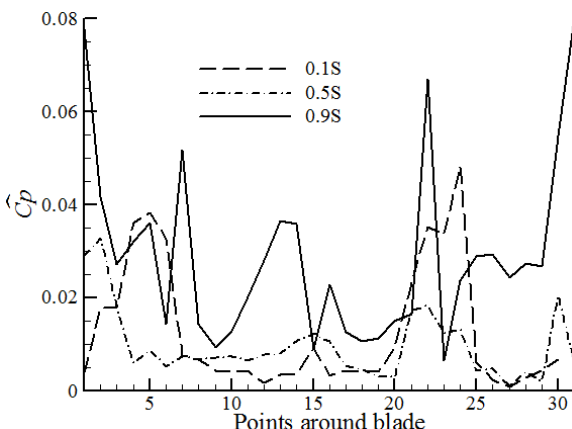
می‌باشد که ناشی از جریان‌های ثانویه و برگشتی در درز نوک پره است. اندازه فشار حول پره در هر سه مقطع در شرایط استال تا 10 برابر بیشتر از فشار نقاط مشابه در شرایط نامی می‌باشد. این شرایط، ناشی از وقوع استال و در بی آن استال فلاتر است. قله‌های موجود در منحنی‌های شکل‌های 16 و 17 ناشی از وقوع شوک‌های شدید است. نوسان پره، باعث می‌شود که اندازه و فاز شوک‌های نشان داده شده در شکل 10 با زمان تغییر کنند. این برهمکنش بین شوک‌ها و نوسان پره منجر به الگوی اندازه و فاز ضربی فشار در شکل‌های 16 و 17 می‌شود. در شرایط استال، به علت کاهش ماخ نسبی شدت آنها کمتر بوده و در نتیجه قله‌های شدید در شکل‌های 18 و 19 دیده نمی‌شوند.

محدوده تغییرات فاز ضربی فشار در هر دو حالت استال و نامی، در محدوده 90-90 درجه می‌باشد. در واقع ضربی فشار و در نتیجه فشار ناپایای نوسانی حداقل 90 درجه با نوسان پره مربوط به خود و 110 درجه (+90) زاویه فاز بین پره بحرانی) با پره مجاور اختلاف فاز خواهد داشت. این بیشینه اختلاف فاز ارتباطی با ناپایداری و شرایط کاری رتور نداشته و مستقل از آنها است. در شرایط نامی، فاز ضربی فشار اکثراً مثبت می‌باشد و این به معنای این است که نوسان پره دنباله‌روی فشار حول پره را می‌کند، در حالیکه در شرایط استال، این موضوع برعکس می‌باشد، یعنی بدليل منفی بودن فاز ضربی فشار در اکثر نقاط اطراف پره، الگوی سیال از ارتعاشات اجباری پره تبعیت می‌کند. از سوی دیگر نوسانات شدید فاز در شرایط نامی را می‌توان به مقاومت سیال در برابر تبعیت از نوسان پره تغییر نمود. در حالیکه در شرایط استال، الگوی تغییرات اندازه و فاز ضربی فشار ناپایای کاملاً منظم می‌باشند.

همانطور که در بخش 4-6 گفته شد، سطح فشار پره در شرایط استال نقش بیشتری در ناپایداری آیروالاستیک پره دارد. اندازه ضربی فشار ناپایای در شرایط استال نشان می‌دهد که اندازه ضربی فشار در سطح فشار پره در همه مقاطع اسپن بیشتر از سطح مکش است و در نتیجه کار آیروالاستیک مربوط به آن بیشتر بوده و میرایی آیروالاستیک متناظر نیز قدر مطلق بزرگتری دارد.

## 7- جمع‌بندی و نتیجه‌گیری

بررسی برهمکنش سازه-سیال در توربوماشین‌ها به جهت ناپایداری‌های آیروالاستیک و در نتیجه آن، کاهش عمر، کاهش راندمان و خرابی توربوماشین، از اهمیت زیادی برخوردار است. این اهمیت در توربوماشین‌های



شکل 16 تغییرات مقدار ضربی فشار لحظه‌ای (نقطه طراحی)

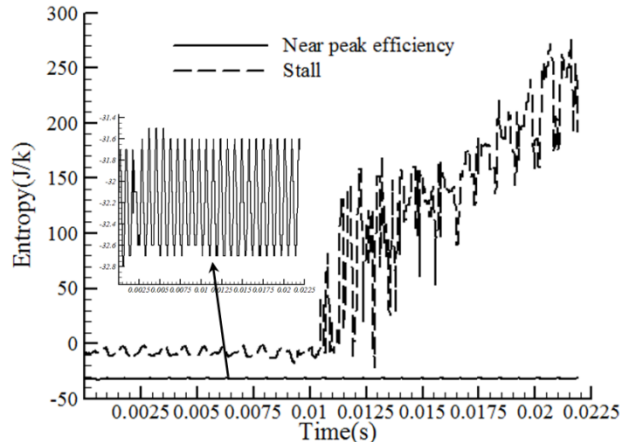


Fig.14 Variations of entropy versus time in blade passage outlet

شکل 14 تغییرات آنتروپی نسبت به زمان در خروجی پره

6- بررسی رفتار ضربی فشار ناپایای حول پره نوسانی  
همانطور که در رابطه (1) مشاهده می‌شود، فشار ناپایای وارد بر پره، نقش اصلی را در مقدار کار آیروالاستیک و در نهایت ناپایداری آیروالاستیک پرده‌ها ایفا می‌کند. برای فهم بهتر علت پدیده‌های آیروالاستیک تشریح شده در بخش‌های قبل لازم است رفتار فشار اطراف پره در طول زمان نوسان پره، شناسایی شود. ماهیت فشار در هر نقطه در میدان جریان دارای پره نوسانی، ناپایایا بوده و دارای دو مؤلفه متوسط پایا و نوسانی ناپایایا می‌باشد. رابطه (10)، دو مؤلفه فشار را نشان می‌دهد. مقدار و فاز مؤلفه نوسانی ناپایای فشار دور پره در هر شرایط کاری رotor به فرکانس نوسان و زاویه فاز بین پره، بستگی دارد.

$$p(x, y, z, t) = \bar{p}(x, y, z, t) + \hat{p}(x, y, z, t) \quad (10)$$

$$= \bar{p}(x, y, z, t) + \hat{p}e^{i(\omega t + \varphi)}$$

در رابطه (10)،  $\bar{p}$ ، فشار متوسط پایا،  $\hat{p}$ ، اندازه فشار ناپایایا و  $\varphi$  فاز آن نسبت به فاز صفر نوسان پره می‌باشد. برای مقایسه، لازم است برای اندازه‌گیری مقدار اندازه فشار، از یک پارامتر بی‌بعد مانند ضربی فشار استفاده شود. بدین‌منظور ضربی فشار ناپایایا بصورت رابطه (11) تعریف می‌شود:

$$\hat{C}_P = \frac{\hat{p}}{0.5A\rho u^2} \quad (11)$$

در این رابطه،  $A$ ، دامنه نوسان پره‌ها و  $0.5\rho u^2$ ، فشار دینامیک در ورودی کanal پره می‌باشد.

در شکل 15 توزیع نقاط اندازه‌گیری ضربی فشار نوسانی ناپایای حول پره در یک مقطع اسپن نشان داده شده است.

تغییرات اندازه و فاز ضربی فشار ناپایای نوسانی حول پره در سه مقطع 0.1، 0.5 و 0.9 طول اسپن پره برای شرایط نامی، به ترتیب در شکل‌های 16 و 17 و برای استال به ترتیب در شکل‌های 18 و 19 نشان داده شده‌اند.

همانطور که در این شکل‌ها دیده می‌شود، سطح اندازه ضربی فشار ناپایای نوسانی در نزدیکی بیشینه راندمان، در نزدیک پوسن رотор بیشتر از دو مقطع دیگر می‌باشد. در شرایط استال، در سطح فشار پره، اندازه ضربی فشار ناپایای نوسانی بیشتر از دو مقطع دیگر و در سطح مکش، کمتر از دو مقطع دیگر



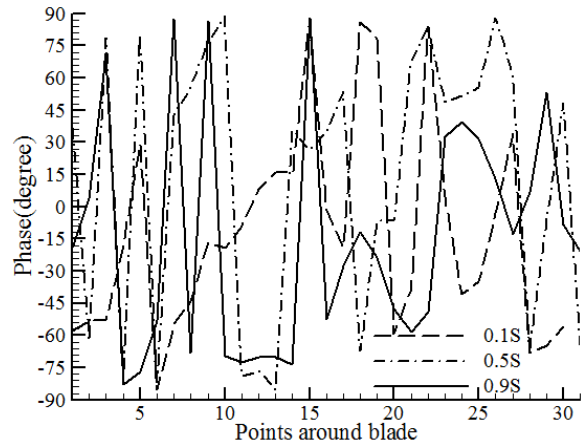
شکل 15 توزیع نقاط اندازه‌گیری ضربی فشار نوسانی

شکل 15 توزیع نقاط اندازه‌گیری ضربی فشار نوسانی

- دو طرفه قابل استفاده است. بررسی‌های این مقاله در سه شرایط کارکرد استال، نزدیک استال و نامی (نزدیک بیشینه راندمان) انجام شده است. نتایج پژوهش حاضر در بندهای زیر خلاصه می‌شوند.
- روند انتخاب شبکه بهینه مستلزم انجام همزمان فرآیند استقلال از شبکه بر روی سازه و سیال می‌باشد. این روند، یک فرآیند رفت و برگشتی می‌باشد.
  - نسبت فشار و نسبت دمای کل بدست آمده از شبیه‌سازی در خروجی کانال پره و در نزدیکی پوسته توربوماشین از نتایج تجربی فاصله می‌گیرند. این موضوع بهدلیل ساختارهای پیچیده سه‌بعدی درز نوک پره می‌باشد که برای شبیه‌سازی دقیق نیازمند روش‌های آشفتگی دقیق‌تر می‌باشد.
  - زاویه فاز بین پره بحرانی مستقل از شرایط کارکرد رتور می‌باشد و برای شرایط نزدیک استال، استال و نامی برابر است.
  - با افزایش فشار خروجی و نزدیک شدن به شرایط استال، میرایی آبرودینامیک متوسط به مقادیر منفی نزدیک‌تر شده و ناپایداری آبروالاستیک بیشتر می‌شود.
  - با شکل‌گیری ناپایداری در شرایط استال، مقادیر میرایی آبرودینامیکی لحظه‌ای هر دو پره از هم فاصله می‌گیرد اما مقدار آنها منفی باقی می‌ماند.
  - فرکанс نوسان پره در تمامی شرایط کاری رتور روی منحنی‌های میرایی آبرودینامیکی پره مشاهده‌پذیر هستند.
  - فرکанс نوسان فشار پایین‌دست در همه شرایط کارکرد توربوماشین، تابعی از فرکанс نوسان پره‌ها می‌باشد. اما دامنه نوسانات در شرایط شکل‌گیری سلول‌های استال بسیار بیشتر از شرایط نامی و نزدیک استال می‌باشد.
  - مقایسه رفتار منحنی آتروپی در خروجی کانال پره در شرایط استال و نامی، بیانگر افزایش آتروپی با شبیه‌تند در استال می‌باشد در حالیکه در شرایط نامی نوسانات دامنه کوچک با زمان دیده می‌شود. این افزایش بهعلت اتفاف انرژی ناشی از استال و ناپایداری آبروالاستیک می‌باشد.
  - مقایسه نمودارهای مقدار و فاز فشار اطراف پره در شرایط نامی و استال، جزئیات بیشتری از عل ناپایداری آبروالاستیک در شرایط استال را مشخص می‌کند.
  - منحنی‌های اندازه و فاز فشار در شرایط استال بسیار هموارتر از منحنی‌های مربوط به شرایط نامی می‌باشند. این موضوع ناشی از برهمکنش شوک‌های شدید شرایط نامی با پره نوسانی و مقاومت در برابر ناپایداری است در حالیکه در شرایط استال، شوک‌ها ضعیفتر بوده و اندازه فاز منفی فشار در اکثر نقاط اطراف پره نمایانگر ناپایداری می‌باشد.
  - سطح فشار پره در شرایط استال نقش بیشتری در ناپایداری آبروالاستیک پره نسبت به سطح مکش دارد.

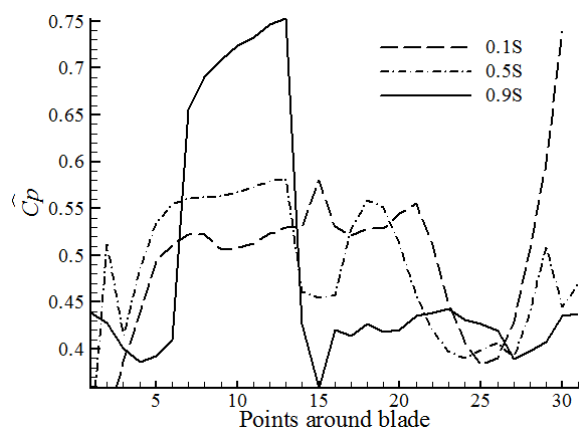
## 8- تقدیر و تشکر

شبیه‌سازی‌های این مقاله با استفاده از سیستم پردازش موازی مرکز داده‌های ابری دانشگاه تربیت مدرس انجام شده است. بدین وسیله از همکاری صمیمانه مسئولین و کارشناسان این مرکز قدردانی می‌شود.



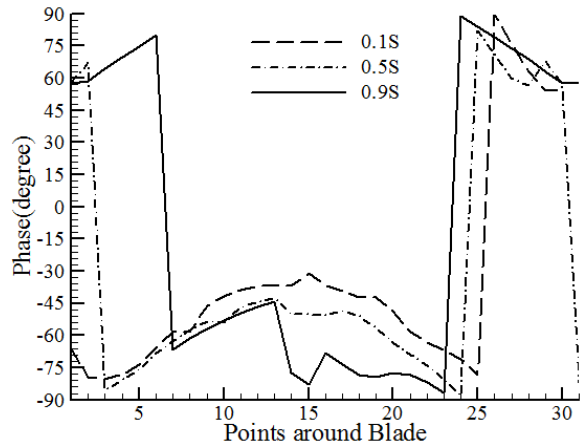
شکل ۱۷ تغییرات فاز ضریب فشار لحظه‌ای در فرآیند نوسان پره‌ها ( نقطه طراحی )

شکل ۱۷ تغییرات فاز ضریب فشار لحظه‌ای در فرآیند نوسان پره‌ها ( نقطه طراحی )



شکل ۱۸ تغییرات مقدار ضریب فشار لحظه‌ای در فرآیند نوسان پره‌ها ( استال )

شکل ۱۸ تغییرات مقدار ضریب فشار لحظه‌ای در فرآیند نوسان پره‌ها ( استال )



شکل ۱۹ تغییرات فاز ضریب فشار ناپایدا در فرآیند نوسان پره‌ها ( استال )

شکل ۱۹ تغییرات فاز ضریب فشار ناپایدا در فرآیند نوسان پره‌ها ( استال )

گذر صوتی بهدلیل پدیده‌های مختص این رژیم جریان، اهمیتی مضاعفی پیدا می‌کند. در این پژوهش، با استفاده از روش تبدیل فوریه، رفتار ناپایداری آبروالاستیک پرده‌های رتور ناسا 37 در ارتعاشات اجباری پره با فرکانس و مود طبیعی بحرانی بررسی شده است. این روش علاوه بر زمان بسیار کمتر نسبت به روش کوپل دوطرفه سازه-سیال، مود ناپایداری را نیز مشخص می‌کند و برای تعیین شرایط بحرانی امکان ظهور ناپایداری، قبل از شبیه‌سازی کوپل

## ۹- مراجع

- [15] Ansys Inc. CFX-Pre Users Guide, Release 16, Canonsburg: Ansys Inc, pp.345-355, 2015.
- [16] M. Jalalifar, B. Ghadiri Dehkordi, S. Fallah, Numerical study of mid-span damper effect on the pattern of flow and operation of transonic compressor blades, *Modares Mechanical Engineering*, Vol. 16, No. 10, pp. 218-228, 2016. (in Persian) (فارسی)
- [17] H. Sik, Im., *High fidelity simulation of Non-synchronous vibration for aircraft engine fan/compressor*, PhD Thesis, Department of Mechanical and Aerospace Engineering, University of Miami, Miami, 2012.
- [18] Ansys Inc., *Ansys-CFX solver modeling Guide*, Release 16, pp.230-236, Canonsburg: Ansys Inc, 2015
- [19] J. A. Erdos, *Numerical solution of periodic transonic flow through a fan stage*, AIAA, Vol. 15, No. 11, pp.1559-1568, 1977.
- [20] L. Reid, D. M. Royce, *Design and overall performance of four highly loaded, high-speed inlet stages for an advanced high-pressure-ratio core compressor*, NASA, Virginia, pp. 64-65, Ohio, 1978.
- [21] L. Cavagna, G. Quaranta, P. Mantegazzaa, Application of navier-stokes simulations for aeroelastic stability assessment in transonic regime, *Computer and Fluids*, Vol. 85, pp. 818-832, 2007.
- [22] M. May, Y. Mauffrey, F. Sicot, Numerical flutter analysis of turbomachinery bladings based on time-linearised, time spectral and time accurate simulations, *Proceeding of The 15th International Conference on Aeroelasticity and Structural Dynamics*, Paris, France, 2011.
- [23] L. Bertini, B. D. Monelli, P. Neri, C. Santus, A. Guglielmo, Explanation and application of the safe diagram, *International Conference of RASD*, Pisa, Italy, 2013.
- [24] L. He, An euler solution for unsteady flows around oscillating blades, *Turbomachinery*, 1990, Vol. 112, No. 4, pp. 110-118, 1990.
- [25] G. A. Gerolymos, Analysis and application of chorochronic periodicity for turbomachinery rotor/stator interaction computations, *Propulsion and Power*, Vol. 18, No. 6, pp.1139-1152, 2002.
- [26] H. Khaleghi, Stall inception and control in a transonic fan, part A: Rotating stall inception, *Aerospace Science and Technology*, Vol. 41, pp. 250-258, 2015.
- [27] Ansys Inc., *Ansys-Fluent user's guide*, Release 16, Canonsburg: Ansys Inc, pp. 96-100, 2015.
- [28] A. V. Srinivasan, Flutter and resonant vibration characteristics of engines blades, *Engineering for gas turbines and power*, Vol. 119, pp.742-775, 1997.
- [29] Y. Zha, R. Bladh, G. Dyverfeldt, Aeroelastic stability assessment of an industrial compressor blade including mistuning effects, *Turbomachinery*, Vol. 134, pp. 1120-1135, 2012.
- [30] K. L. Suder, M. L. Celestina, *Experimental and Computational Investigation of the Tip Clearance Flow in a Transonic Axial Compressor Rotor*, Ohio, 1994.
- [31] J. D. Denton, Lessons from Rotor 37, *Thermal Science*, Vol. 6, No. 1, pp. 1-13, 1997.
- [1] E. H. Dowell, H. C. Curtiss, R. H. Scanlan, F. Sisto, *A Modern Course in Aeroelasticity*, pp. 475-477, New York: Kluwer Academic Publishers, 1989.
- [2] H. Doi, *Fluid-Structure coupled aeroelastic computational for transonic flows in turbomachinery*, PhD Thesis, Stanford University, Stanford, 2002.
- [3] H. Forshching, Aeroelastic stability of cascades in turbomachinery, *Progress in Aerospace Sciences*, Vol. 30, No. 3 pp. 213-266, 1994.
- [4] S. Fallah, B. Ghadiri Dehkordi, Gh. Heidarnejad, Numerical investigation of turbulence characteristics of flow in fixed and oscillating transonic fan cascade, *Modares Mechanical Engineering*, Vol. 14, No. 16, pp. 231-242, 2015. (in Persian) (فارسی)
- [5] V. Lyengar, L. N. Sankar, R. Denney, A first-principles based methodology for design of axial compressor Configurations, *Proceedings of Power for Land, Sea and Air conference*, Montreal: American Society of Mechanical Engineers, pp.1301-1312, 2007.
- [6] S. Karami, M. Rostami, S. Kheradmand, Validation of Rotor37 using K-omega sst model, *Second symposium of engineering science development*, Tehran, Iran, 2015. (in Persian) (فارسی)
- [7] M. SeyyedMirzabozorg, H. Ahmadi, M. Bazazzadeh, 3D investigation of flow passed a transonic fan in turbofan engine with by-pass ratio 3-1 and result comparison with design parameters, *Proceedings of The 1th Conference on Propulsion*, Shahinshahr, Iran, 2012. (in Persian) (فارسی)
- [8] P. Cinnella, B. Michel, Toward improved simulation tools for compressible turbomachinery: assessment of RBC schemes for the transonic NASA Rotor 37 benchmark case, *The 21th Congres on Mechanical Engineering*, Bordo, France, 2013.
- [9] A. A. Ameri, *NASA Rotor 37 CFD code validation*, NASA, Ohio, pp.1-8, 2010
- [10] P. Groth, H. Martensson, N. Edin, Experimental and computational fluid dynamics based determination of flutter limits in supersonic space turbines, *Turbomachinery*, Vol. 132, No. 1, pp. 321-329, 2010.
- [11] D. H. Buffum, V. R. Capece, A. J. King, E. M. El-Aini, Experimental investigation of unsteady flows at large incidence angles in a linear oscillating cascade, *Proceedings of The 32th International Conference on Propulsion*, Buena Vista, July 1-3, 1996.
- [12] V. Gnesin, R. Rzadkowski, L. Kolodiyazhnaya, A coupled fluid-structure analysis for 3D flutter in turbomachines, *Proceedings of ASME TURBOEXPO 2000*, Munich, Germany, May 8-11, 2000.
- [13] V. Carstens, J. Belz, Numerical investigation of nonlinear fluid-structure interaction in vibrating compressor blades, *Turbomachinery*, Vol. 123, pp. 402-408, 2001.
- [14] Z. Fu, Y. Wang, Aeroelastic analysis of a transonic fan blade with low hub-to-Tip ratio including mistuning effects, *Power and Energy Engineering*, Vol.3, pp:362-372, 2015